

Implementasi Metode *Yolo Object Detector* untuk Klasifikasi Jenis Kendaraan yang Melintas di Ruas Jalan

Rico Aditya Utama¹ dan Lussiana ETP²

¹Sistem Informasi, Universitas Gunadarma

¹Jl. Margonda Raya No.100, Depok, Jawa Barat 16424

²Magister Teknologi Informasi, STMIK Jakarta STI&K

²Jl. BRI No.17, Radio Dalam Kebayoran Baru Jakarta Selatan 12140

E-mail : ricoaditya59@gmail.com, lussiana.etp@gmail.com

Abstrak

Intelligent Traffic System (ITS) adalah upaya untuk mengintegrasikan teknologi telekomunikasi, elektronik, dan informasi dengan rekayasa transportasi untuk merencanakan, merancang, mengoperasikan, memantau dan mengelola sistem transportasi jalan. Salah satu pendukung ITS dengan memanfaatkan CCTV yang berfungsi untuk pengawasan dan pemantauan kondisi jalan. Permasalahan yang timbul antara lain perangkat CCTV yang saat ini ada pada kebanyakan ruas jalan raya hanya digunakan untuk merekam video namun belum difungsikan sebagai alat pendeteksi dan pengenalan jenis kendaraan. Berkaitan dengan hal tersebut penelitian ini bertujuan mengimplementasikan metode YOLO (You Only Look Once) Object Detectors untuk mendeteksi dan mengenali jenis kendaraan pada ruas jalan raya. Tahapan yang dilakukan antara lain akuisisi data citra pada ruas jalan, labelling citra, pembagian data latih dan data uji, augmentasi citra, training model YOLO, dan melakukan pengujian. Berdasarkan hasil pengujian, model mampu mendeteksi 3 jenis kendaraan yaitu mobil, motor, dan bus serta menghasilkan nilai akurasi untuk seluruh jenis kendaraan sebesar 85%, nilai presisi sebesar 93.5%, dan nilai mAP (Mean Average Precision) sebesar 97.07%..

Kata kunci : Deteksi Kendaraan, klasifikasi, YOLO, *Intelligent Traffic System*

Pendahuluan

Saat ini sudah banyak pemanfaatan CCTV di berbagai jalan raya yang digunakan untuk memantau kondisi lalu lintas jalan raya, baik terhadap berbagai pelanggaran pengguna jalan raya maupun kemungkinan kemacetan yang terjadi. Berdasarkan hal tersebut mulai banyak dikembangkan suatu sistem pemantauan canggih, yang dikenal dengan nama *Intelligent Traffic System* (ITS).

Intelligent Traffic System (ITS) merupakan proses pengintegrasian dari teknologi telekomunikasi, elektronik, dan informasi atau disingkat

telematika dengan rekayasa transportasi, untuk merencanakan, merancang, mengoperasikan, memantau, memelihara dan mengelola sistem transportasi jalan [1].

Berkaitan dengan pemasangan dan pemanfaatan CCTV, salah satu fungsinya adalah untuk mengetahui jenis kendaraan yang melintas di jalan raya. Permasalahan yang muncul antara lain bagaimana membangun sistem yang dapat diterapkan dan dapat mengidentifikasi kendaraan secara akurat. Berbagai metode identifikasi atau pendeteksian kendaraan telah banyak dilakukan antara lain: Metode klasifikasi kendaraan menggunakan SVM (*Sup-*

port *Vector Machine*) telah dilakukan [2]. Pada penelitian tersebut hal yang pertama kali dilakukan adalah melakukan fitur ekstraksi menggunakan deteksi tepi, deteksi sudut, dan color transform. Kemudian semua fitur tersebut dijadikan input algoritma SVM untuk mengklasifikasikan kendaraan atau bukan. Hasilnya sistem yang diusulkan mampu mendeteksi kendaraan dengan baik tetapi klasifikasinya masih belum sampai pada tipe kendaraan.

Pendeteksian kendaraan juga dikembangkan menggunakan OpenCV oleh [3]. Pada penelitian tersebut dilakukan proses deteksi dan pengenalan tipe kendaraan. Pada proses pendeteksian kendaraan menggunakan metode haar-like feature kemudian dilakukan pengujian sistem usulan dengan 3 skenario kondisi jalan yaitu kondisi padat, sepi, dan normal. Hasil pengujian diperoleh tingkat akurasi pada skenario jalan padat, normal dan sepi secara berurut adalah 28.2%, 47.5%, dan 77.8%.

Selanjutnya dikembangkan model pendeteksian kendaraan dengan klasifikasi tipe kendaraan telah dilakukan oleh [4] dan [5]. Pada penelitian tersebut terdapat 3 tahap yang dilakukan yaitu segmentasi citra, klasifikasi kendaraan dan penghitung kendaraan. Tahap segmentasi yang dilakukan diawali dengan rotasi, *background subtraction*, *image filtering* dan *contour closure*. Selanjutnya pada tahap klasifikasi kendaraan menggunakan metode pengukuran dimensi kendaraan. Hasilnya pada sistem usulan tingkat akurasi deteksinya mencapai 98.7%.

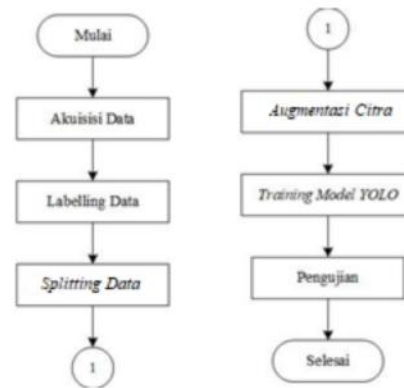
Penelitian deteksi tipe kendaraan dengan melakukan klasifikasi berdasarkan deteksi tepi telah dilakukan oleh [6]. Pada penelitian tersebut tahapan awal yang dilakukan adalah akuisisi data ruas jalan raya berupa video yang selanjutnya dilakukan deteksi tepi menggunakan canny. Hasil yang diperoleh didapatkan nilai presentase error deteksi sebesar 2 – 26.75%.

Seiring dengan berkembang pesatnya ilmu deep learning untuk diterapkan di berbagai aspek juga mempengaruhi lahirnya metode baru dalam bidang deteksi objek yaitu dengan object detection algorithm. Salah satu object detection algorithm YOLO (*You Only Look Once*) yang dikembangkan pada tahun 2016 [7]. Tujuan penelitian ini menerapkan algoritma YOLO (*You Only Look Once*) untuk mendeteksi dan mengidentifikasi kendaraan

yang melintas di ruas jalan raya.

Metode Penelitian

Tahapan penelitian terlihat pada gambar 1.



Gambar 1: Tahapan Penelitian

Gambar 1 merupakan skema tahapan penelitian yang dilakukan. Secara garis besar terdiri dari identifikasi masalah, akuisisi data, labelling data, splitting data, Augmentasi citra, training YOLO, dan pengujian. Dalam penelitian ini diawali dengan akuisisi data. Dari data citra hasil akuisisi tersebut dilakukan proses labelling pada objek kendaraan yang terlihat. Selanjutnya dilakukan proses augmentasi citra untuk menghasilkan citra yang memiliki sudut pandang baru dari citra yang sudah ada, sehingga dataset memiliki lebih banyak variasi citra tambahan untuk proses training.

Perangkat yang diperlukan

Untuk menunjang kelancaran penelitian, diperlukan pendukung penelitian seperti perangkat keras dan perangkat lunak. Berikut perangkat keras dan perangkat lunak yang digunakan selama penelitian: Processor Intel Core i5 Gen 8, GPU Nvidia Cuda V10.1.243, Sistem Operasi Windows 10, Memori RAM 8 GB, Python 3.6.7, OpenCV 3.4, dan Google Colab.

Akuisisi Data

Tahap akuisisi data dilakukan dengan mengambil citra kendaraan yang melintas di jalan raya, dalam hal ini Jl. Jend. Sudirman Jakarta Selatan. Untuk mendapatkan citra yang dibutuhkan, proses pengambilan dilakukan dari ketinggian sekitar 15 m, sehingga didapatkan citra

berbagai kendaraan berikut ruas jalan yang dilalui. Pada penelitian ini digunakan kamera handphone Xiaomi Mi A1 untuk pengambilan citra, dan untuk kebutuhan pengujian jumlah data citra yang diambil sebanyak 5 citra seperti Gambar 2.



Gambar 2: Data citra Ruas Jalan

Gambar 2 merupakan citra hasil tahap akuisisi data yang disimpan dalam file dengan ekstensi JPG, tampak berbagai kendaraan yang melintas, seperti: kendaraan roda dua, roda empat, kendaraan besar dan badan ruas jalan yang dilalui.

Labelling Data

Tahap ini bertujuan untuk memberi label dan kotak pembatas (posisi objek) pada objek kendaraan yang ingin dideteksi. Dengan pemberian label pada tiap kendaraan maka diperoleh posisi tiap kendaraan sehingga dapat diperoleh posisi lebar dan tinggi kendaraan. Proses labelling ini dilakukan dengan menggunakan software Labelling.



Gambar 3: Proses Labelling

Gambar 3 merupakan contoh citra yang sedang dalam proses pelabelan (ditunjukkan dengan arah panah). Hal yang pertama dilakukan dalam proses labelling adalah membuat batas berupa kotak di area objek kendaraan dengan cara men-drag kursor pada area objek lalu memberinya label. Hasil dari proses labelling adalah sebuah file annotation yang berisi informasi terkait objek tersebut, seperti pada Gambar 4.

| Label | xmin | xmax | ymin | ymax | h | w |
|-------|------|------|------|------|-----|-----|
| Car | 1691 | 2181 | 1044 | 1685 | 641 | 490 |

Gambar 4: Hasil labelling

Pada Gambar 4 terdapat 7 atribut objek yaitu label, xmin, xmax, ymin, ymax, h, dan w. Label adalah kelas objek yang didefinisikan dan merupakan atribut yang diidentifikasi. Xmin dan xmax adalah 2 titik pada sumbu x yang digunakan untuk menentukan lebar (w) kotak, sedangkan ymin dan ymax adalah 2 titik pada sumbu y yang digunakan untuk menentukan tinggi (h) kotak. Untuk menentukan lebar kotak dilakukan dengan melakukan pengurangan antara xmax dengan xmin, sedangkan untuk menentukan tinggi kotak dilakukan dengan pengurangan antara ymax dengan ymin. Proses ini diulang sampai semua objek yang terlihat pada citra tersebut mendapat label. Kumpulan data citra setelah proses labelling ini selanjutnya disebut dengan dataset.

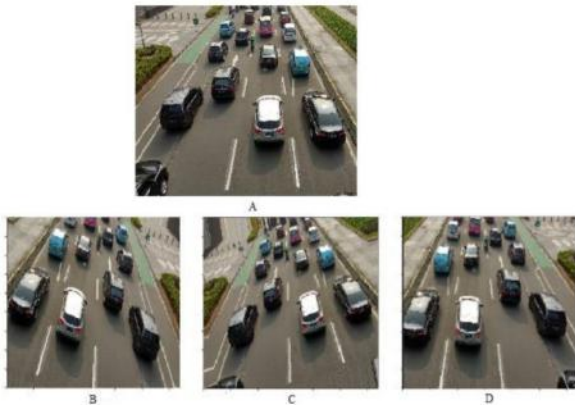
Splitting Data

Splitting data atau pembagian data dilakukan untuk memisahkan antara data yang digunakan untuk proses training dan data yang digunakan untuk pengujian, dengan demikian terdapat data latih dan data uji.

Augmentasi Citra

Tahap ini merupakan proses mengubah atau memodifikasi citra dengan sedemikian rupa sehingga komputer mendeteksi bahwa citra yang sudah diubah tersebut adalah citra yang berbeda [9]. Proses ini bertujuan untuk memperkaya dataset yang dihasilkan dari proses akuisisi data, sehingga dapat meningkatkan tingkat akurasi dan presisi model YOLO yang

dilatih dikarenakan model mendapatkan data-data tambahan yang berguna untuk model melakukan prediksi dengan lebih baik. Proses augmentasi yang dilakukan pada penelitian ini adalah dengan melakukan rotasi acak dengan derajat maksimal 30o, zoom-in secara acak dengan zoom maksimal sebesar 20%, dan membalikkan gambar secara horizontal.



Gambar 5: Contoh Hasil Augmentasi Citra

Gambar 5 menunjukkan hasil proses augmentasi citra dari sebuah sampel dataset citra. Citra A adalah citra hasil akuisisi data, sedangkan citra B, C, dan D adalah hasil dari proses augmentasi. Pada citra B dilakukan operasi mirroring secara horizontal dan rotasi ke arah kiri, dan untuk citra C dilakukan operasi mirroring horizontal lalu rotasi ke arah kanan, sedangkan untuk citra D hanya dilakukan operasi mirroring secara horizontal.

Training Model YOLO

Tahap training model dilakukan dengan langkah-langkah sebagai berikut. [8]

1. Mempersiapkan dataset dalam 1 folder yang berisikan file citra bersama file annotation.
2. Melakukan konfigurasi YOLO training config file untuk mengatur parameter training seperti jumlah epochs, batch size, dan classes.
3. Input data training.

4. Menghitung mAP (Mean Average Precision) untuk mendapatkan pengukuran performa model dari nilai presisi rata-rata per bulk epochs. Berikut rumus dari mAP. [7]

$$mAP = \frac{1}{n} \sum_{k=1}^{k=n} AP_k \quad (1)$$

5. Menghitung multi-part loss function sebagai average loss pada model dengan target output.
6. Kembali ke langkah dua sebanyak epoch yang telah ditentukan.

Pengujian

Pengujian ini dilakukan dengan mengambil data uji dan citra baru untuk melihat output prediksi yang dihasilkan oleh model yang sudah dilatih sebelumnya.

Hasil dan Pembahasan

Dataset

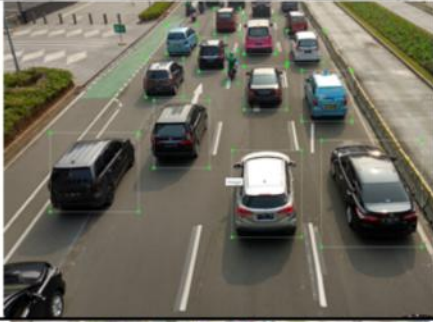
Dataset diperoleh dari hasil proses labelling. Berikut ini adalah struktur dataset yang telah siap untuk digunakan.



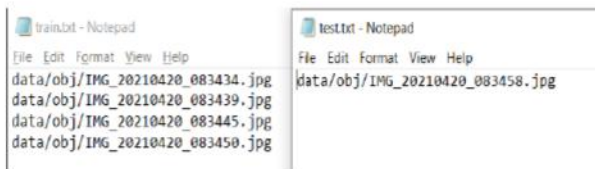
Gambar 6: Struktur Dataset

Pada Gambar 6 terlihat struktur folder dari dataset yang telah selesai dari proses labelling. Hasil akhir proses labelling menghasilkan file annotation berformat txt yang berisikan informasi-informasi tentang class object dan dimensi kotak pembatas object. Tabel 1 adalah hasil labelling beserta annotationnya.

Tabel 1: Dataset

| Citra Hasil Labelling | | Annotation (.txt) | | | | | | | |
|---|--|-------------------|-------|------|------|------|------|------|-----|
|  | | No | Label | xmin | xmax | ymin | ymax | h | w |
| | | 1 | Mobil | 1636 | 2193 | 1661 | 2193 | 532 | 507 |
| | | 2 | Mobil | 1119 | 1524 | 1173 | 1524 | 351 | 406 |
| | | 3 | Mobil | 2336 | 3067 | 1730 | 3067 | 1337 | 731 |
| | | 4 | Mobil | 2193 | 2560 | 844 | 2560 | 1716 | 367 |
| | | 5 | Mobil | 1774 | 2084 | 763 | 2084 | 1321 | 310 |
| | | 6 | Mobil | 365 | 1008 | 925 | 1482 | 557 | 643 |
| | | 7 | Mobil | 1060 | 1334 | 675 | 1334 | 659 | 274 |
| | | 8 | Mobil | 1772 | 2093 | 270 | 2093 | 1633 | 231 |
| | | 9 | Mobil | 2088 | 2355 | 425 | 2355 | 1920 | 267 |
| | | 10 | Mobil | 1210 | 1429 | 368 | 1429 | 1061 | 219 |
| | | 11 | Mobil | 1446 | 1638 | 494 | 1638 | 1144 | 192 |
| | | 12 | Mobil | 1538 | 1746 | 232 | 1746 | 1514 | 188 |
| | | 13 | Motor | 1650 | 1731 | 575 | 1731 | 1156 | 81 |
| | | 14 | Motor | 1337 | 1382 | 100 | 1382 | 1282 | 45 |
| | | 15 | Motor | 1393 | 1430 | 146 | 1430 | 1284 | 37 |
| | | 16 | Mobil | 11 | 462 | 1790 | 2240 | 450 | 451 |
| | | 17 | Mobil | 2070 | 2252 | 202 | 2252 | 2051 | 183 |
| | | 18 | Mobil | 1814 | 1989 | 104 | 1989 | 1885 | 175 |
| | | 19 | Mobil | 1649 | 1786 | 38 | 1786 | 1748 | 137 |
| | | 20 | Mobil | 2037 | 2178 | 62 | 2178 | 2116 | 141 |
|  | | No | Label | xmin | xmax | ymin | ymax | h | w |
| | | 1 | Mobil | 25 | 896 | 1740 | 2247 | 507 | 871 |
| | | 2 | Mobil | 1749 | 2208 | 1044 | 1613 | 569 | 459 |
| | | 3 | Mobil | 2432 | 3292 | 1494 | 2235 | 741 | 860 |
| | | 4 | Mobil | 904 | 1263 | 618 | 1035 | 417 | 359 |
| | | 5 | Mobil | 1787 | 2082 | 525 | 799 | 274 | 295 |
| | | 6 | Mobil | 2251 | 2680 | 678 | 1035 | 357 | 429 |
| | | 7 | Mobil | 1132 | 1382 | 380 | 599 | 219 | 250 |
| | | 8 | Mobil | 1449 | 1694 | 349 | 587 | 238 | 245 |
| | | 9 | Mobil | 1870 | 2030 | 273 | 432 | 159 | 160 |
| | | 10 | Mobil | 2132 | 2375 | 301 | 532 | 231 | 243 |
| | | 11 | Mobil | 1368 | 1539 | 182 | 335 | 153 | 171 |
| | | 12 | Mobil | 1606 | 1751 | 109 | 261 | 152 | 145 |
| | | 13 | Mobil | 2096 | 2239 | 140 | 266 | 126 | 143 |
| | | 14 | Mobil | 1832 | 1996 | 97 | 251 | 154 | 164 |
| | | 15 | Motor | 1373 | 1425 | 73 | 168 | 95 | 52 |
| | | 16 | Mobil | 1461 | 1589 | 75 | 180 | 105 | 128 |
| | | 17 | Mobil | 1656 | 1763 | 20 | 99 | 79 | 107 |
| | | 18 | Mobil | 1865 | 1982 | 30 | 90 | 60 | 117 |
| | | 19 | Mobil | 2030 | 2134 | 4 | 47 | 43 | 104 |
| | | 20 | Motor | 1789 | 1820 | 54 | 161 | 107 | 31 |
|  | | No | Label | xmin | xmax | ymin | ymax | h | w |
| | | 1 | Mobil | 21 | 711 | 1911 | 2247 | 236 | 690 |
| | | 2 | Mobil | 1288 | 1997 | 1884 | 2247 | 292 | 507 |
| | | 3 | Mobil | 2121 | 2992 | 1518 | 2247 | 729 | 807 |
| | | 4 | Mobil | 652 | 1078 | 1020 | 1515 | 485 | 426 |
| | | 5 | Mobil | 1411 | 1742 | 722 | 1078 | 255 | 281 |
| | | 6 | Mobil | 1928 | 2364 | 920 | 1328 | 295 | 426 |
| | | 7 | Mobil | 1027 | 1257 | 411 | 623 | 241 | 320 |
| | | 8 | Mobil | 1457 | 1669 | 297 | 590 | 182 | 212 |
| | | 9 | Mobil | 1728 | 1928 | 297 | 592 | 195 | 200 |
| | | 10 | Mobil | 1728 | 1928 | 299 | 438 | 129 | 169 |
| | | 11 | Mobil | 1499 | 1659 | 261 | 382 | 121 | 161 |
| | | 12 | Mobil | 1209 | 1440 | 320 | 354 | 124 | 140 |
| | | 13 | Mobil | 1240 | 1282 | 161 | 256 | 92 | 82 |
| | | 14 | Mobil | 1704 | 1821 | 182 | 285 | 105 | 117 |
| | | 15 | Mobil | 1916 | 1628 | 187 | 256 | 69 | 119 |
| | | 16 | Mobil | 1264 | 1459 | 142 | 250 | 88 | 95 |
| | | 17 | Mobil | 1461 | 1752 | 128 | 206 | 78 | 91 |
| | | 18 | Mobil | 1272 | 1226 | 109 | 170 | 61 | 82 |
| | | 19 | Mobil | 1492 | 1471 | 144 | 225 | 81 | 76 |
| | | 20 | Mobil | 1414 | 1472 | 81 | 128 | 57 | 59 |
| | | 21 | Mobil | 1307 | 1372 | 54 | 116 | 62 | 66 |
| | | 22 | Mobil | 1648 | 1762 | 97 | 159 | 62 | 67 |
| | | 23 | Mobil | 1828 | 1807 | 112 | 166 | 82 | 72 |
| | | 24 | Mobil | 1509 | 1561 | 25 | 82 | 57 | 62 |
| | | 25 | Mobil | 1607 | 1657 | 22 | 85 | 62 | 50 |
| | | 26 | Mobil | 1212 | 1276 | 16 | 54 | 38 | 48 |
| | | 27 | Motor | 1147 | 1195 | 216 | 211 | 95 | 48 |
| | | 28 | Motor | 1182 | 1228 | 186 | 247 | 91 | 45 |
|  | | No | Label | xmin | xmax | ymin | ymax | h | w |
| | | 1 | Mobil | 494 | 1278 | 1490 | 2237 | 747 | 784 |
| | | 2 | Mobil | 1623 | 2256 | 1470 | 2235 | 765 | 633 |
| | | 3 | Mobil | 2430 | 3170 | 1751 | 2247 | 496 | 740 |
| | | 4 | Mobil | 2270 | 2911 | 994 | 1544 | 550 | 641 |
| | | 5 | Mobil | 1775 | 2104 | 761 | 1128 | 367 | 529 |
| | | 6 | Mobil | 997 | 1382 | 851 | 1237 | 386 | 383 |
| | | 7 | Motor | 892 | 1037 | 711 | 944 | 233 | 143 |
| | | 8 | Mobil | 1261 | 1466 | 425 | 678 | 253 | 203 |
| | | 9 | Mobil | 1799 | 2049 | 447 | 666 | 219 | 250 |
| | | 10 | Mobil | 2166 | 2430 | 461 | 737 | 276 | 264 |
| | | 11 | Mobil | 1380 | 1542 | 254 | 406 | 152 | 162 |
| | | 12 | Mobil | 1787 | 1937 | 263 | 413 | 150 | 150 |
| | | 13 | Mobil | 2073 | 2249 | 230 | 387 | 157 | 176 |
| | | 14 | Mobil | 1630 | 1766 | 166 | 299 | 133 | 136 |
| | | 15 | Mobil | 1516 | 1642 | 125 | 228 | 103 | 126 |
| | | 16 | Mobil | 1882 | 1999 | 159 | 287 | 128 | 117 |
| | | 17 | Mobil | 2018 | 2151 | 132 | 249 | 117 | 133 |
| | | 18 | Mobil | 1854 | 1956 | 101 | 201 | 100 | 102 |
| | | 19 | Mobil | 2025 | 2128 | 68 | 134 | 86 | 103 |
| | | 20 | Mobil | 1573 | 1680 | 40 | 144 | 104 | 107 |
| | | 21 | Mobil | 1713 | 1801 | 23 | 113 | 90 | 88 |
| | | 22 | Mobil | 1842 | 1925 | 4 | 87 | 83 | 83 |
| | | 23 | Mobil | 1970 | 2051 | 9 | 90 | 81 | 81 |
|  | | No | Label | xmin | xmax | ymin | ymax | h | w |
| | | 1 | Mobil | 25 | 896 | 1740 | 2247 | 507 | 871 |
| | | 2 | Mobil | 1749 | 2208 | 1044 | 1613 | 569 | 459 |
| | | 3 | Mobil | 2432 | 3292 | 1494 | 2235 | 741 | 860 |
| | | 4 | Mobil | 904 | 1263 | 618 | 1035 | 417 | 359 |
| | | 5 | Mobil | 1787 | 2082 | 525 | 799 | 274 | 295 |
| | | 6 | Mobil | 2251 | 2680 | 678 | 1035 | 357 | 429 |
| | | 7 | Mobil | 1132 | 1382 | 380 | 599 | 219 | 250 |
| | | 8 | Mobil | 1449 | 1694 | 349 | 587 | 238 | 245 |
| | | 9 | Mobil | 1870 | 2030 | 273 | 432 | 159 | 160 |
| | | 10 | Mobil | 2132 | 2375 | 301 | 532 | 231 | 243 |
| | | 11 | Mobil | 1368 | 1539 | 182 | 335 | 153 | 171 |
| | | 12 | Mobil | 1606 | 1751 | 109 | 261 | 152 | 145 |
| | | 13 | Mobil | 2096 | 2239 | 140 | 266 | 126 | 143 |
| | | 14 | Mobil | 1832 | 1996 | 97 | 251 | 154 | 164 |
| | | 15 | Motor | 1373 | 1425 | 73 | 168 | 95 | 52 |
| | | 16 | Mobil | 1461 | 1589 | 75 | 180 | 105 | 128 |
| | | 17 | Mobil | 1656 | 1763 | 20 | 99 | 79 | 107 |
| | | 18 | Mobil | 1865 | 1982 | 30 | 90 | 60 | 117 |
| | | 19 | Mobil | 2030 | 2134 | 4 | 47 | 43 | 104 |
| | | 20 | Motor | 1789 | 1820 | 54 | 161 | 107 | 31 |

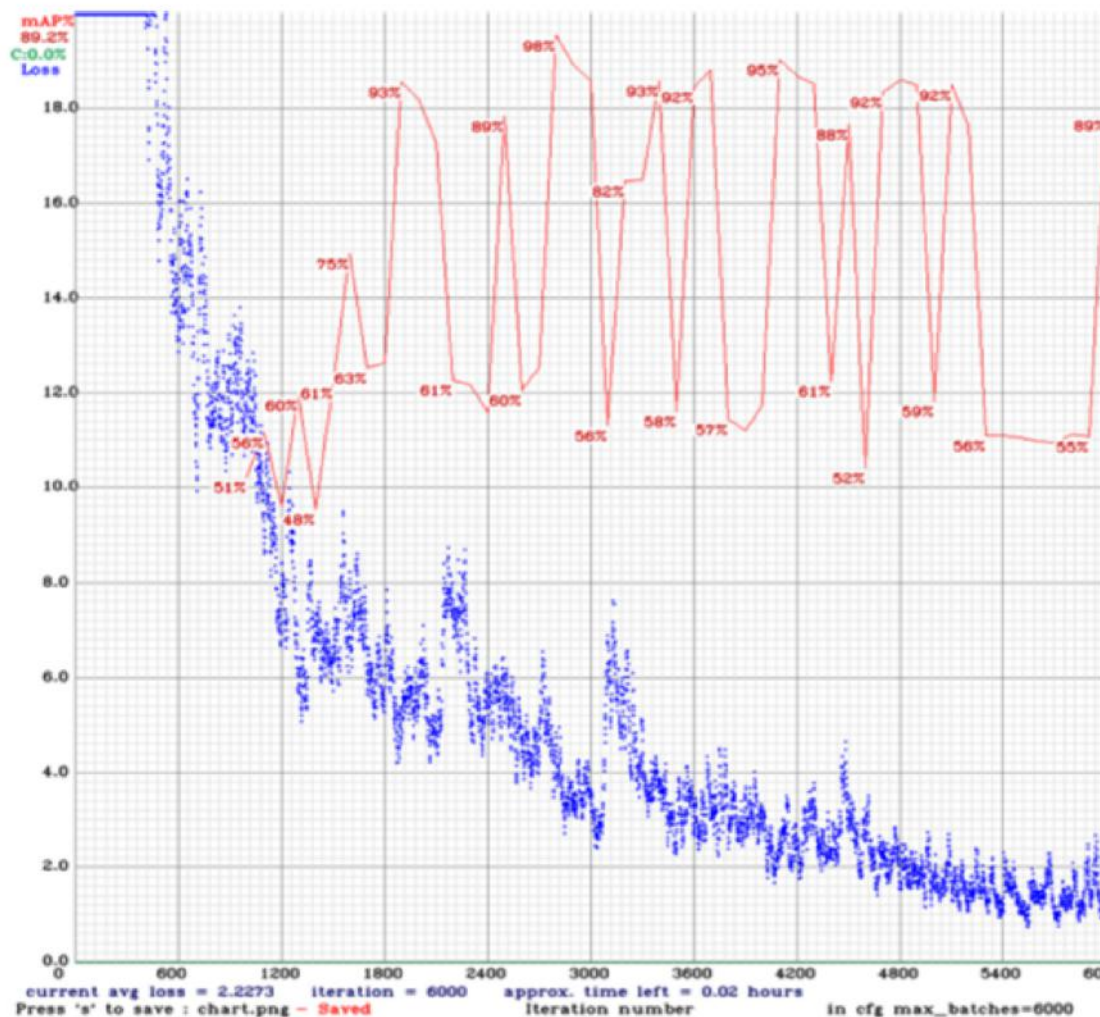
Selanjutnya dari dataset tersebut akan dibagi menjadi data latih dan data uji. Pembagian dataset ini menggunakan presentasi 80:20 yang artinya 80% dari keseluruhan dataset digunakan untuk data latih dan 20% dari keseluruhan dataset digunakan untuk data uji. Berikut ini adalah komposisi antara data latih dan data uji disajikan pada Gambar 7.



Gambar 7: Komposisi data latih dan data uji

Visualisasi Hasil Training

Gambar 8 menunjukkan visualisasi hasil training dengan iterasi sebanyak 6000 kali. Sumbu y sebagai parameter nilai loss sedangkan sumbu x adalah jumlah iterasi training yang dilakukan. Grafik berwarna Biru menunjukkan nilai loss selama proses training. Berdasarkan pada grafik, dapat dinyatakan bahwa semakin banyak iterasi maka nilai loss semakin kecil, sedangkan grafik yang berwarna merah menunjukkan nilai presisi rata-rata dan dapat dinyatakan bahwa semakin banyak iterasi maka nilainya semakin besar. Pada iterasi ke-6000 nilai loss dapat ditekan sampai dengan 2.2273 dan nilai presisi mencapai angka 89% ini menunjukkan bahwa semakin lama model dilatih akan semakin baik dalam mengenali objek kendaraan.



Gambar 8: Visualisasi hasil training

Tahap Klasifikasi

Tahap ini dilakukan setelah tahap training untuk data latih. Pada pengujian dilakukan klasifikasi tiga jenis kendaraan, yaitu: mobil, motor, dan bus. Klasifikasi dilakukan dengan mengikuti pengukuran seperti pada Tabel 2.

Tabel 2: Nilai Prediksi

| | | Nilai Sebenarnya | |
|----------------|-------|--|--|
| | | True | False |
| Nilai Prediksi | True | TP (True Positive) Correct Result | FP (False Positive) Unexpected Result |
| | False | FN (False Negative) Missing Result | TN (True Negative) Correct Absense of Result |

Dimana,

- *True Positive* (TP): Sistem berhasil mengidentifikasi kendaraan dengan benar.
- *False Positive* (FP): Sistem salah mengidentifikasi kendaraan.
- *False Negative* (FN): Objek kendaraan tidak di deteksi sistem.
- *True Negative* (TN): Sistem mendeteksi selain kendaraan.

Tabel 3, Tabel 4 dan Tabel 5 berisi hasil klasifikasi sistem per kelas dari proses pengujian sistem menggunakan data uji.

Tabel 3: Hasil prediksi kelas mobil

| | | Nilai Sebenarnya | |
|----------------|-------|------------------|-------|
| | | True | False |
| Nilai Prediksi | True | 19 | 1 |
| | False | 0 | 0 |

Tabel 3 menunjukkan hasil prediksi model terhadap kelas mobil. Nilai True Positif sebesar 19 kali yang artinya model berhasil mengidentifikasi mobil secara benar dan hanya 1 kali model salah mengidentifikasi objek mobil.

Tabel 4: Hasil prediksi kelas motor

| | | Nilai Sebenarnya | |
|----------------|-------|------------------|-------|
| | | True | False |
| Nilai Prediksi | True | 9 | 2 |
| | False | 0 | 0 |

Tabel 4 menunjukkan hasil prediksi model terhadap kelas motor. Nilai True Positif sebesar 9 yang artinya model berhasil mengidentifikasi motor secara benar sebanyak 9 kali dan hanya 2 kali model salah mengidentifikasi objek motor.

Tabel 5: Hasil prediksi kelas bus

| | | Nilai Sebenarnya | |
|----------------|-------|------------------|-------|
| | | True | False |
| Nilai Prediksi | True | 1 | 0 |
| | False | 0 | 0 |

Tabel 5 menunjukkan hasil prediksi model terhadap kelas bus. Nilai True Positif sebesar 1 yang artinya model berhasil mengidentifikasi bus secara benar sebanyak 1 kali. Dari data matriks per kelas pada Tabel 3, Tabel 4 dan Tabel 5 didapatkan nilai average precision seperti Gambar 9.

```
class_id = 0, name = car, ap = 96.42%
class_id = 1, name = motor, ap = 94.78%
class_id = 2, name = bus, ap = 100.00%
```

Gambar 9: Average Precision

Selanjutnya dilakukan penghitungan nilai presisi menggunakan persamaan (1) dan diperoleh nilai presisi rata-rata atau *mean average precision* (mAP) terbaik selama proses training adalah sebagai berikut.

$$mAP = \frac{96.42 + 94.78 + 100}{3} = 97.07\%$$

Tabel 6 merupakan tabel hasil klasifikasi dari semua jenis kendaraan dengan menggunakan data uji.

Tabel 6: Hasil prediksi semua kelas

| | | Nilai Sebenarnya | |
|----------------|-------|------------------|-------|
| | | True | False |
| Nilai Prediksi | True | 29 | 2 |
| | False | 3 | 0 |

Dari Tabel 6 terdapat 2 parameter yang berpengaruh pada tingkat performa model yaitu *accuracy* dan *precision*. Nilai *accuracy* mengukur seberapa tepat model tersebut dapat memprediksi dengan benar sedangkan nilai *precision* mengukur seberapa banyak model memprediksi objek dengan benar. Kedua parameter tersebut dapat dihitung dengan menggunakan persamaan: [10]

$$Accuracy = \frac{TP + TN}{TP + TN + FP + FN} \quad (2)$$

$$Precision = \frac{TP}{TP + FN} \quad (3)$$

Dengan mengimplementasikan persamaan (2) dan (3) didapatkan nilai *accuracy* dan *precision*

dari hasil pengujian model YOLO adalah sebagai berikut.

$$Accuracy = \frac{29 + 0}{20 + 0 + 2 + 3} \times 100\% = 85\%$$

$$Precision = \frac{29}{29 + 2} \times 100\% = 93.5\%$$

Dari hasil pengujian yang telah dilakukan, maka didapatkan hasil keseluruhan. Perhitungan dari Tabel 6 menunjukkan hasil akurasi sebesar 85% dan nilai presisi sebesar 93.5% serta nilai mAP sebesar 97.07% untuk hasil persentase seluruh jumlah citra ruas jalan yang termasuk ke dalam data uji menggunakan model YOLO.

Penutup

Bedasarkan hasil pengujian, implementasi deteksi kendaraan pada citra ruas jalan menggunakan model YOLO Object Detection mampu menghasilkan nilai akurasi seluruh kelas sebesar 85%, presisi sebesar 93.5% dan presisi rata-rata sebesar 97.07%.

Daftar Pustaka

- [1] Erwin Kusnandar, "ITS Untuk Indonesia", Kementerian Pekerjaan Umum Republik Indonesia, Jakarta, Desember 2011.
- [2] C. Antony and E. Konguvel, "Vehicle Detection Based On Feature Extraction and SVM Classification", in *Journal of Computer Engineering*, pp 42-47, 2014
- [3] Alvin Lazaro, Joko Lianto Buliali dan Bilqis Amaliah, "Deteksi Jenis Kendaraan di Jalan Menggunakan OpenCV", *Jurnal Teknik ITS*, 6(2), 2337-3520, 2017.
- [4] Z. Maoutakki, I. M. Ouloul, K. Afdel and A. Amghar, "Real-time System Based On Feature Extraction for Vehicle Detection and Classification", *Transport and Telecommunication*, pp 93-102, 2018.
- [5] P.M. Daigavane and P.R. Bajaj, "Real Time Vehicle Detection and Counting Method for Unsupervised Traffic Video on Highways", *International Journal of Computer Science and Network Security*, 10(8), 2010.
- [6] Bagus Pribadi dan Muchammad Nasser, "Sistem Klasifikasi Jenis Kendaraan Melalui Teknik Olah Citra Digital", *SETRUM*, vol. 3, no. 2, hal. 35-39, 2014.
- [7] Redmon Joseph., Santosh Divvala., Ross Girshick and Ali Farhadi, "You Only Look Once: Unified, Real-Time Object Detection", 2016 IEEE Conference on Computer Vision and Pattern Recognition (CVPR), pp. 779-788, doi: 10.1109/CVPR.2016.91, 2016.
- [8] Adrian Rosebrock, "Deep Learning for Computer Vision with Python", *Pyimage-search*, September 2017.
- [9] L. Perez and J. Wang, "The effectiveness of data augmentation in image classification using deep learning", *CoRR*, abs/1712.04621, <http://arxiv.org/abs/1712.04621>, 2017.
- [10] M. Sokolova and G. Lapalme, "A systematic analysis of performance measures for classification tasks," *Inf. Process. Manag.*, vol. 45, no. 4, hal. 427-437, 2009.